Zeitschrift: L'Enseignement Mathématique

Herausgeber: Commission Internationale de l'Enseignement Mathématique

Band: 49 (2003)

Heft: 1-2: L'ENSEIGNEMENT MATHÉMATIQUE

Artikel: CARACTÉRISATION GÉOMÉTRIQUE DES SOLUTIONS DE

MINIMAX POUR L'ÉQUATION DE HAMILTON-JACOBI

Autor: Capitanio, Gianmarco

Kapitel: 2.1 Rappels de géométrie symplectique

DOI: https://doi.org/10.5169/seals-66676

Nutzungsbedingungen

Die ETH-Bibliothek ist die Anbieterin der digitalisierten Zeitschriften auf E-Periodica. Sie besitzt keine Urheberrechte an den Zeitschriften und ist nicht verantwortlich für deren Inhalte. Die Rechte liegen in der Regel bei den Herausgebern beziehungsweise den externen Rechteinhabern. Das Veröffentlichen von Bildern in Print- und Online-Publikationen sowie auf Social Media-Kanälen oder Webseiten ist nur mit vorheriger Genehmigung der Rechteinhaber erlaubt. Mehr erfahren

Conditions d'utilisation

L'ETH Library est le fournisseur des revues numérisées. Elle ne détient aucun droit d'auteur sur les revues et n'est pas responsable de leur contenu. En règle générale, les droits sont détenus par les éditeurs ou les détenteurs de droits externes. La reproduction d'images dans des publications imprimées ou en ligne ainsi que sur des canaux de médias sociaux ou des sites web n'est autorisée qu'avec l'accord préalable des détenteurs des droits. En savoir plus

Terms of use

The ETH Library is the provider of the digitised journals. It does not own any copyrights to the journals and is not responsible for their content. The rights usually lie with the publishers or the external rights holders. Publishing images in print and online publications, as well as on social media channels or websites, is only permitted with the prior consent of the rights holders. Find out more

Download PDF: 12.07.2025

ETH-Bibliothek Zürich, E-Periodica, https://www.e-periodica.ch

DÉFINITION. On appelle max-min de f le nombre

$$\max \min(f) := \sup \{ \lambda \in \mathbf{R} \mid j_{\lambda}^* \Delta \neq 0 \} = -\min \max(-f).$$

THÉORÈME 1.9. Le minimax de f coincide avec le max-min.

Démonstration. D'après le Théorème 1.8 on peut supposer f générique, donc de Morse excellente. Alors on déduit de la Proposition 1.5 que f et -f ont le même point critique libre. \square

Le résultat suivant sera utile plus loin.

PROPOSITION 1.10. Soit f une fonction excellente, $\bar{\xi}$ un point critique dégénéré de f, de valeur critique $c:=f(\bar{\xi})$. Supposons que pour tout $\epsilon>0$ il existe deux déformations g,h de f telles que :

- (i) g et h sont ϵ -proches de f;
- (ii) g n'a aucune valeur critique dans $]c \epsilon, c + \epsilon[$;
- (iii) h a deux valeurs critiques, $c_1 = f(\bar{\xi}_1)$ et $c_1 = f(\bar{\xi}_2)$ dans $]c \epsilon, c + \epsilon[$, telles que ξ_1 et ξ_2 sont non dégénérés. Alors ξ_1 et ξ_2 sont liés.

Démonstration. Le même argument que pour la preuve du Théorème 1.8 (où l'on considère $E^{c-\epsilon}$ au lieu de $E^{-\infty}$) montre que

$$\widetilde{H}_*(E_q^{c+\epsilon}, E_q^{c-\epsilon}) \simeq \widetilde{H}_*(E_h^{c+\epsilon}, E_h^{c+\epsilon})$$
.

Or, d'après le Théorème 1.2, on a $\widetilde{H}_*(E_h^{c+\epsilon}, E_h^{c-\epsilon}) = 0$. Par conséquent $\widetilde{H}_*(E_g^{c+\epsilon}, E_g^{c-\epsilon}) = 0$, c'est-à-dire ξ_1 et ξ_2 sont incidents. Il s'ensuit que ξ_1 et ξ_2 sont liés (Proposition 1.3). \square

2. LA SOLUTION DE MINIMAX

2.1 Rappels de géométrie symplectique

Soit X une variété différentielle de dimension n, $T^*X = \{(x;y)\}$ le fibré cotangent³) de X, $\pi \colon T^*X \to X$ la projection naturelle $(x,y) \mapsto x$. Le fibré T^*X , muni de la forme symplectique canonique $dy \land dx$, est une variété symplectique de dimension 2n.

³) Pas nécessairement trivial.

On appelle isotopie hamiltonienne⁴) le flot au "temps" T d'un hamiltonien

$$h: [0,T] \times T^*X \to T^*X$$
.

Deux sous-variétés du fibré cotangent sont *isotopes* s'il existe une isotopie qui transforme l'une dans l'autre. Une sous-variété de T^*X est *lagrangienne* si sa dimension est égale à la dimension de la base X du fibré et si la forme symplectique s'annule sur cette sous-variété. Une isotopie transforme des sous-variétés lagrangiennes en sous-variétés lagrangiennes.

DÉFINITION. Une famille génératrice (globale) d'une sous-variété lagrangienne L du fibré cotangent est une famille de fonctions $\{S_{\xi}: X \to \mathbf{R}\}_{\xi \in \mathbf{R}^K}$, dépendant des paramètres $\xi \in \mathbf{R}^K$, telle que:

- la fonction $S: X \times \mathbf{R}^K \to \mathbf{R}$, définie par $S(x; \xi) := S_{\xi}(x)$, est de classe C^2 ;
- 0 est une valeur régulière de l'application $(x;\xi)\mapsto \partial_\xi S(x;\xi)$, c'est-à-dire:

$$\operatorname{rk}(\partial_{\xi\xi}^2 S, \partial_{\xi x}^2 S)|_{\{\partial_{\xi} S=0\}} = K.$$

• la famille engendre la sous-variété lagrangienne

$$L = \{ (x, \partial_x S(x; \bar{\xi})) \mid \exists \bar{\xi} \in \mathbf{R}^K : \partial_{\xi} S(x; \bar{\xi}) = 0 \}.$$

Etant donnée une famille génératrice $S: X \times \mathbf{R}^K \to \mathbf{R}$ d'une sous-variété lagrangienne, les opérations suivantes permettent de construire une nouvelle famille génératrice T (de paramètres η) de la même sous-variété:

- (o) Addition d'une constante: si $C \in \mathbf{R}$, on pose $\eta = \xi$ et $T(x; \eta) = S(x; \xi) + C$;
- (i) Stabilisation: si $K' \in \mathbb{N}$ et Q est une forme quadratique non dégénérée de $\mathbb{R}^{K'}$, on pose $\eta = (\xi, \xi')$ et $T(x; \eta) = S(x; \xi) + Q(\xi')$;
- (ii) Difféomorphisme: si $(x; \eta) \mapsto (x, \xi(x, \eta))$ est un difféomorphisme préservant les fibres du fibré trivial $X \times \mathbf{R}^K \to X$, on pose $T(x; \eta) = S(x; \xi(x, \eta))$. On remarque que l'opération de stabilisation augmente le nombre de paramètres de la famille génératrice.

DÉFINITION. On dit que deux familles génératrices sont équivalentes si l'on peut obtenir l'une à partir de l'autre à l'aide d'une suite d'opérations (o), (i) et (ii).

⁴⁾ Dans la suite on ne considérera que des isotopies hamiltoniennes.

En fait, il se trouve que si deux familles sont équivalentes, on peut obtenir l'une de l'autre par une stabilisation, suivie d'un difféomorphisme et de l'addition d'une constante.

DÉFINITION. Une famille génératrice est quadratique à l'infini (fgqi) s'il existe une forme quadratique non dégénérée Q_{∞} telle que $S(x;\xi)=Q_{\infty}(\xi)$, pour $|\xi|$ assez grand.

Les fgqi sont une classe très importante de fonctions génératrices pour le résultat suivant d'existence (dû à Sikorav, voir [Sik]) et d'unicité (dû à Viterbo, voir [Vi1], [The]).

Théorème d'existence et d'unicité de Sikorav-Viterbo. Si X est une variété fermée⁵), toute sous-variété lagrangienne de T^*X isotope à la section nulle $\{(x;0) \mid x \in X\}$ admet une fgqi; de plus, toutes les fgqi d'une telle sous-variété sont équivalentes.

REMARQUES.

- (1) Le théorème reste vrai dans le cas des variétés non compactes si l'isotopie est à support compact ou, ce qui revient au même, si la variété est transversale à la base X en dehors d'un compact, c'est-à-dire si la projection π est une bijection entre L et X.
- (2) Il existe une version de contact (pour les sous-variétés legendriennes de J^1X) du théorème d'existence de Sikorav, dû à Yu. Chekanov ([Ch1]), mais pas, à ma connaissance, pour le théorème d'unicité de Viterbo.

DÉFINITION. Soit $\Sigma_L := \{(x,y) \in L \mid \operatorname{rk} D\pi(x,y) < \dim X\}$ l'ensemble des *points singuliers* de L. La *caustique* de L est la projection $\pi(\Sigma_L)$ sur X de l'ensemble des points singuliers.

Génériquement, l'ensemble des points singuliers est l'union de la variété régulière de codimension 1 des points singuliers simples (où le rang de $D\pi$ est dim X-1) et d'une réunion finie de variétés de codimension au moins 3 (voir [Ar1]).

On rappelle que L est *exacte* si la 1-forme de Liouville y dx, restreinte à L, est exacte, c'est-à-dire s'il existe une fonction $\zeta: L \to \mathbf{R}$ telle que $y dx|_L = d\zeta$. Si c'est le cas, on peut associer à L une sous-variété legendrienne

⁵) C'est-à-dire compacte et sans bord.

 \widehat{L} de l'espace $J^1X = \{(x, z, y)\}$ des jets d'ordre 1 sur X (muni de la forme de contact standard dz - y dx), définie à une constante en z près:

$$\widehat{L} := \{ (q, \zeta(q, p), p) \mid (q, p) \in L \}.$$

DÉFINITION. On appelle front d'onde ou diagramme de Cerf de L l'image F_L de \widehat{L} par la projection $(x, z, y) \mapsto (x, z)$ dans l'espace $J^0X = \{(x, z)\}$ des jets d'ordre 0 sur X.

Soit $S(x; \xi)$ une fgqi de L.

DÉFINITION. L'ensemble de Maxwell M_L de L est l'ensemble des points $x \in X$ tels que la fonction de Morse $\xi \mapsto S(x; \xi)$ n'est pas excellente.

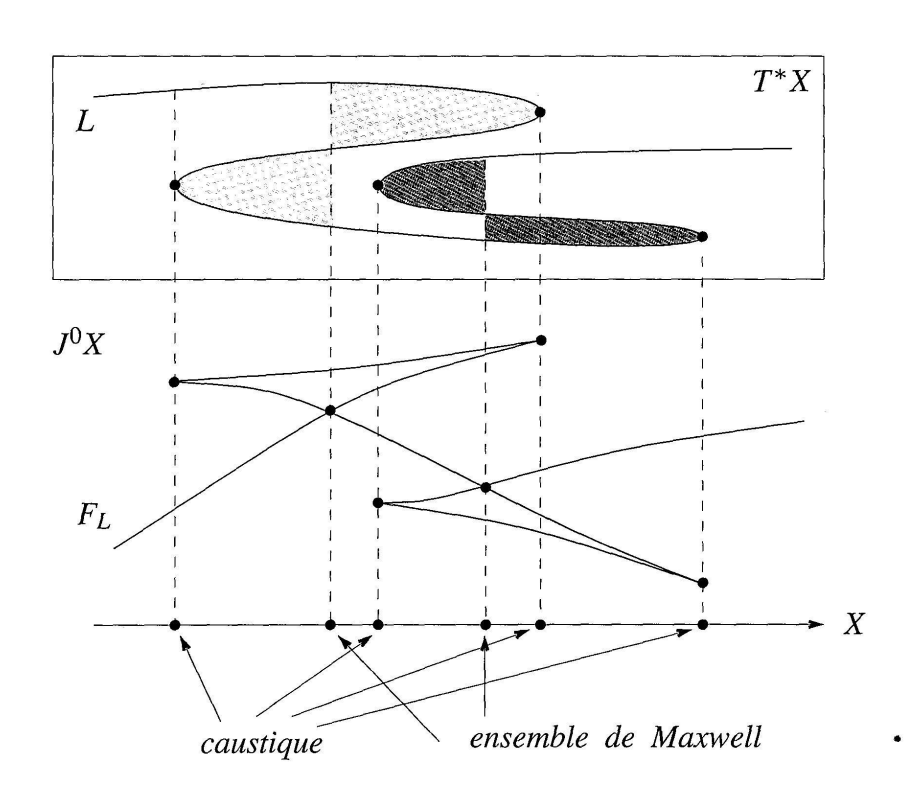


FIGURE 4
Caustique et ensemble de Maxwell d'une courbe lagrangienne et du front associé

REMARQUES.

- (1) D'après le théorème d'unicité de Viterbo, l'ensemble de Maxwell ne dépend que de L.
- (2) La projection naturelle $F_L \to X$ est une fibration en dehors de la caustique et de l'ensemble de Maxwell (cf. Figure 4).

- (3) L'ensemble de Maxwell d'une sous-variété lagrangienne générique est une hypersurface stratifiée (c'est-à-dire une réunion finie de variétés lisses, les *strates*, connexes par arcs, deux à deux disjointes, telles que la fermeture de chaque strate est la même strate et une réunion finie de strates de dimension plus petite), voir [Ar2].
- (4) La caustique et l'ensemble de Maxwell d'une sous-variété lagrangienne générique ont mesure nulle.

2.2 La solution géométrique de (PC)

Considérons le problème de Cauchy pour l'équation de Hamilton-Jacobi sur une variété Q (sans bord, mais pas forcément compacte) de hamiltonien $H: [0, +\infty[\times T^*Q \to \mathbf{R}]$ de classe C^2 dans $]0, +\infty[\times T^*Q]$ et continue au bord, et donnée initiale $u_0: Q \to \mathbf{R}$ de classe C^1 :

(PC)
$$\begin{cases} \partial_t u(t,q) + H(t,q,\partial_q u(t,q)) = 0, & \forall \ t > 0, \ q \in Q \\ u(0,q) = u_0(q), & \forall \ q \in Q. \end{cases}$$

Dans cette section on construit une sous-variété lagrangienne du fibré cotangent de l'espace temps, la solution géométrique de (PC). Le théorème de Sikorav-Viterbo permet de lui associer une "unique" fgqi $S(t,q;\xi)$. Cette fonction est définie à une constante additive près; une fois cette constante convenablement fixée, S est une solution, en générale multivoque, de (PC). Son graphe 6)

$$\{(t, q, S(t, q; \bar{\xi}) \mid \partial_{\xi} S(t, q; \bar{\xi}) = 0\}$$

est le front d'onde de la solution géométrique.

Dans la prochaine section on utilisera la méthode de minimax pour choisir en tout point (t,q) un unique point critique de $\xi \mapsto S(t,q;\xi)$; on obtiendra de cette manière une section du front, qui s'avère être le graphe d'une fonction bien définie, solution faible de (PC).

Sur le fibré cotangent $T^*Q = \{(q,p)\}$, muni de la forme symplectique canonique $dp \wedge dq$, le champ hamiltonien $X_H = (\partial_p H, -\partial_q H)$ induit le flot $\phi \colon [0, +\infty[\times T^*Q \to T^*Q]$. Ses composantes $\phi^t(q,p) = (\tilde{q}(t), \tilde{p}(t))$, que l'on appelle les *caractéristiques* de X_H , sont les solutions des équations de Hamilton

$$\begin{cases} \frac{d}{dt}\tilde{q}(t) = \partial_p H(t, \tilde{q}(t), \tilde{p}(t)), \\ \frac{d}{dt}\tilde{p}(t) = -\partial_q H(t, \tilde{q}(t), \tilde{p}(t)), \end{cases}$$

telles que $\tilde{q}(0) = q$ et $\tilde{p}(0) = p$.

⁶) Plus précisément, le contour apparent du graphe de S, projection le long de l'axe des ξ .